

Ústřední výbor fyzikální olympiády české republiky  
**REŠENÍ ÚLOH II. KOLA 35. ROČNIKU FYZIKÁLNÍ**  
**OLYMPIÁDY.** Kategorie A

1. a) Počet elektronů, které dopadnou za 1 s na anodu rentgenky, je

$$N_e = \frac{I_a}{e} = 1,25 \cdot 10^{16} \text{ s}^{-1} . \quad \frac{N_e}{V} = 25 .$$

Na 25 elektronů, které dopadnou na anodu rentgenky, připadá jeden vyzářený foton rentgenového záření.

1 bod

b) Energie fotonů rentgenového záření je

$$E_f = h\nu = \frac{hc}{\lambda} , \quad \text{po dosazení} \quad E_f = 1,99 \cdot 10^{-15} \text{ J} = 12,4 \text{ keV} :$$

Hmotnost  $m_f$  fotonů určíme na základě Einsteinova vztahu ekvivalence hmotnosti a energie:

$$m_f c^2 = \frac{hc}{\lambda} , \quad \text{z toho} \quad m_f = \frac{h}{\lambda c} , \quad \text{po dosazení} \quad m_f = 2,21 \cdot 10^{-32} \text{ kg} .$$

Kinetická energie elektronů dopadajících na anodu rentgenky je rovna elektrické práci. Hmotnost urychleného elektronu je větší než klidová hmotnost o ekvivalent kinetické energie. Platí

$$E_k = U e . \quad m_e = m_{e0} + \frac{E_k}{c^2} ,$$

po dosazení

$$E_k = 50 \text{ keV} = 8,0 \cdot 10^{-15} \text{ J} , \quad m_e = (9,11 + 0,89) \cdot 10^{-31} \text{ kg} = 1,00 \cdot 10^{-30} \text{ kg} ,$$

$$\frac{E_k}{E_f} = 4,0 , \quad \frac{m_e}{m_f} = 45,2 .$$

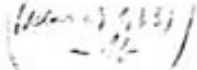
Kinetická energie elektronů dopadajících na anodu je čtyřikrát větší než hmotnost fotonů rentgenového záření, hmotnost elektronů je asi 45 krát větší než hmotnost fotonů.

4 body

c) Vyjde me z relativistického vztahu pro setrvačnou hmotnost. Platí

$$m_r = \frac{m_{r0}}{\sqrt{1 - \frac{v^2}{c^2}}} , \quad v = c \sqrt{1 - \frac{m_{r0}^2}{m_r^2}} ,$$

po dosazení  $v = 0,415c = 1,24 \cdot 10^8 \text{ m}\cdot\text{s}^{-1}$ . 2 body

d) Zářivý výkon rentgenky a elektrický příkon rentgenky jsou 

$$P = N \frac{hc}{\lambda} , \quad P_0 = U_a I_a .$$

Z toho určíme účinnost rentgenky

$$\eta = \frac{P}{P_0} = \frac{Nhc}{\lambda U_a I_a} , \quad \text{po dosazení } \eta \doteq 0.00994 = 0.994 \% .$$

Účinnost rentgenové trubice je velmi nízká. Značná část energie se mění na anodě na teplo.

2 body

e) Wilhelm Conrad Röntgen byl prvním nositelem Nobelovy ceny za fyziku. Obdržel ji r. 1901. 1 bod

2. a) Z parametrických rovnic šikmého vrhu

$$x = v_0 t \cos \alpha , \quad y = v_0 t \sin \alpha - \frac{1}{2} g t^2$$

vyjádříme

$$t = \frac{x}{v_0 \cos \alpha} \quad (1)$$

a přejdeme k neparametrické rovnici

$$y = x \operatorname{tg} \alpha - \frac{gx^2}{2v_0^2 \cos^2 \alpha} .$$

Dosazením souřadnic cíle a úpravou dostáváme

$$b = a \operatorname{tg} \alpha - \frac{ga^2}{2v_0^2 \cos^2 \alpha} .$$

$$v_0^2 = \frac{ga^2}{2 \cos^2 \alpha (a \operatorname{tg} \alpha - b)} , \quad v_0 = \frac{a}{\cos \alpha} \sqrt{\frac{g}{2(a \operatorname{tg} \alpha - b)}} . \quad (2)$$

2 body

Počáteční rychlosť bude mít minimální velikost, jestliže hodnota výrazu

$$\cos^2 \alpha(a \tan \alpha - b) = a \sin \alpha \cos \alpha - b \cos^2 \alpha$$

bude maximální. Proto

$$\frac{d(a \sin \alpha \cos \alpha - b \cos^2 \alpha)}{d\alpha} = a(\cos^2 \alpha - \sin^2 \alpha) + 2b \cos \alpha \sin \alpha = 0 \quad (3)$$

2 body

Úpravou dostaneme kvadratickou rovnici

$$a \tan^2 \alpha - 2b \tan \alpha - a = 0 .$$

Uloze vyhovuje kořen

$$\tan \alpha = \frac{b + \sqrt{b^2 + a^2}}{a} . \quad (4)$$

Pro dané hodnoty  $\alpha = 58,6^\circ$ .

2 body

Vztahu (4) odpovídá obr. RA1. Z něj je patrné, že vektor počáteční rychlosti leží v ose úhlu  $\varphi$ , který svírá svislice v počátku vrhu a spojnici počátku vrhu s cílem.

2 body

b) Po dosazení do (2) za použití vztahu

$$\cos^2 \alpha = \frac{1}{1 + \tan^2 \alpha}$$

dostaneme

$$v_0^2 = \frac{ga^2(1 + \tan^2 \alpha)}{2(a \tan \alpha - b)} , \quad v_0 = \sqrt{g \frac{b^2 + b\sqrt{b^2 + a^2} + a^2}{\sqrt{b^2 + a^2}}}$$

Z (1) a (2) dostaneme

$$t^2 = \frac{a^2}{v_0^2 \cos^2 \alpha} = \frac{2(a \tan \alpha - b)}{g} , \quad t = \sqrt{\frac{2\sqrt{b^2 + a^2}}{g}} .$$

Pro dané hodnoty  $v_0 = 15,8 \text{ m} \cdot \text{s}^{-1}$ ,  $t = 1,9 \text{ s}$ .

2 body

### Jiné řešení

Číslou vztahu (3) dostaneme

$$a \cos 2\alpha - b \sin 2\alpha = 0 , \quad \operatorname{tg} 2\alpha = -\frac{a}{b} .$$

Z obr. RA2 je zřejmé, že platí

$$2\alpha = 180^\circ - \varphi , \quad \alpha = 90^\circ - \frac{\varphi}{2} = 90^\circ - \frac{1}{2} \operatorname{arctg} \frac{a}{b} .$$

Velikost počáteční rychlosti a dobu letu můžeme také vypočítat dosazením hodnoty  $\alpha$  do (2) a pak dosazením hodnot  $v_0$  a  $\alpha$  do (1).

3. Označme napětí diody, při kterém, je-li zapojena v propustném směru, jí začne procházet proud  $U_0 = 0,5 \text{ V}$ .

a) Schéma zapojení reálného obvodu je na obr. RA3. 0,5 bodu

b) Schéma náhradního obvodu je na obr. RA4. Odpor rezistoru, který nahrazuje odpor diody v propustném směru je  $R_d = \frac{\Delta U}{\Delta I}$ . Jak vyplývá z charakteristiky,  $R_d = 5 \Omega$ . 1,5 bodu

c) Graf funkce  $i = i(t)$  je na obr. RA5. K určení stupnice na osách je třeba zjistit amplitudu proudu v obvodu a okamžiky, kdy je proud velmi blízko nulové hodnoty. Určíme je takto: celkové napětí v obvodu v kladné půlperiodě je  $U_m \sin \omega t - (U_0 + U_e)$ , celkový odpor je  $R_d + r$ . Proud v obvodu je určen vztahem

$$i(t) = \frac{U_m \sin \omega t - (U_0 + U_e)}{R_d + r} = I_m \sin \omega t - I_0 \geq 0 . \quad (5)$$

Pro dané hodnoty  $\{i(t)\} = 0,32 \sin \omega t - 0,16 \geq 0$ , největší hodnota proudu je  $0,16 \text{ A}$ .

Jak vyplývá z oboru funkčních hodnot, definiční obor funkce vyjádřený celkovou fází proudu  $\omega t$  je

$$\frac{\pi}{6} + 2k\pi \leq \omega t \leq (2k+1)\pi - \frac{\pi}{6} , \quad k = 0, 1, 2, 3, \dots ,$$

vyjádřený časem  $t$  je

$$1.67 \cdot 10^{-3} \text{ s} + 2k \cdot 10,0 \cdot 10^{-3} \text{ s} \leq t \leq (2k+1) \cdot 10,0 \cdot 10^{-3} \text{ s} - 1.67 \cdot 10^{-3} \text{ s} .$$

Proud je velmi blízko nulové hodnoty v okamžicích vyjádřených celkovou fází

$$\frac{\pi}{6} + 2k\pi \text{ a } (2k+1)\pi - \frac{\pi}{6}$$

nebo časem

$$1,67 \cdot 10^{-3} \text{ s} + 2k \cdot 10,0 \cdot 10^{-3} \text{ s} \quad \text{a} \quad (2k+1) \cdot 10,0 \cdot 10^{-3} \text{ s} - 1,67 \cdot 10^{-3} \text{ s}.$$

(Kompletní správný graf  $i(t)$  nebo  $i(\varphi)$ )

3 body

d) Doba  $\Delta t$ , během které v každé periodě prochází obvodem proud vyplývá z rovnosti

$$\omega \Delta t = (2k+1)\pi - \frac{\pi}{6} - (\frac{\pi}{6} + 2k\pi) = \frac{2\pi}{3}.$$

z toho

$$\Delta t = \frac{2\pi}{3\omega} \quad \text{pro dané hodnoty} \quad \Delta t = 6,6 \cdot 10^{-3} \text{ s}.$$

1 bod

e) Okamžik  $t_0$ , jak se můžeme přesvědčit, náleží definičnímu oboru funkce proudu, neboť

$$0,32 \sin(100\pi \cdot 0,805) - 0,16 = 0,16 \geq 0.$$

Proud v okamžiku  $t_0$  dosahuje největší hodnoty 0,16 A. Napětí mezi svorkami diody, jestliže jí prochází proud, je  $U_d = U_0 + R_d i(t)$ . Dosazením výrazu (1) za  $i(t)$  a úpravou dostaneme

$$U_d = \frac{R_d U_m \sin \omega t - (R_d U_e - r U_0)}{R_d + r}.$$

Pro dané hodnoty  $U_d(0,805 \text{ s}) = 1,3 \text{ V}$ , což je amplituda napětí na diodě.

1 bod

f) Střední hodnotu proudu procházejícího obvodem určíme integrací

$$I_s = \frac{1}{T} \int_0^T i(t) dt = \frac{1}{2\pi} \int_{\pi/6}^{5\pi/6} i(\varphi) d\varphi.$$

Dosazením a výpočtem dostaneme

$$I_s = \frac{1}{2\pi} [-I_m \cos \varphi - I_0 \varphi]_{\pi/6}^{5\pi/6} = 0,0349 \text{ A}.$$

3 body

4. a) Aktivní filtr se skládá z pasivního dvojbranu RC, který se chová jako dolní propust, a operačního zesilovače zapojeného jako neinvertující zesilovač, který se vyznačuje velkým vstupním odporem a dolní propust prakticky nezatěžuje. Dvojbran a zesilovač jsou zapojeny do kaskády.

Napěťový přenos dvojbranu RC je

$$A_{u1} = \frac{\frac{1}{j\omega C}}{R + \frac{1}{j\omega C}} = \frac{1}{1 + j\omega RC} = \frac{1}{1 + j\frac{f}{f_m}},$$

kde  $f_m = \frac{1}{2\pi RC}$  je mezní frekvence.

Napěťový přenos neinvertujícího zesilovače je

$$A_{u2} = 1 + \frac{nR}{R} = n + 1.$$

Výsledný napěťový přenos celého filtru je

$$A_u = A_{u1} A_{u2} = \frac{n+1}{1 + j\frac{f}{f_m}}.$$

Pro absolutní hodnotu napěťového přenosu a pro fázové posunutí dostáváme

$$|A_u| = \frac{n+1}{\sqrt{1 + \left(\frac{f}{f_m}\right)^2}}, \quad \varphi = -\arctg \frac{f}{f_m}.$$

4 body

Diskuse:

(a) Pro  $f \ll f_m$

$$A_u \doteq n+1, \quad a \doteq 20 \log(n+1), \quad \varphi \rightarrow 0.$$

(b) Pro  $f = f_m$

$$A_u = \frac{n+1}{\sqrt{2}}, \quad a = 20 \log(n+1) - 3, \quad \varphi = -45^\circ.$$

(c) Pro  $f \gg f_m$

$$A_u = \frac{(n+1)f_m}{f} \rightarrow 0, \quad a = 20 \log[(n+1)f_m] - 20 \log f, \quad \varphi \rightarrow -90^\circ.$$

S rostoucí frekvencí klesá napěťový přenos o 20 dB/dek.

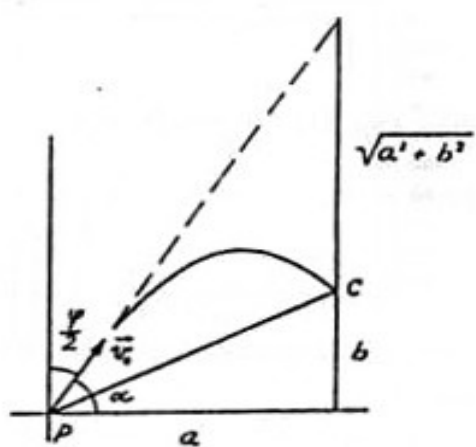
3 body

b) Pro dané hodnoty  $f_m = 637$  Hz. Při této frekvenci  $A_u = 3,5$ ,  $a = 11$  dB.

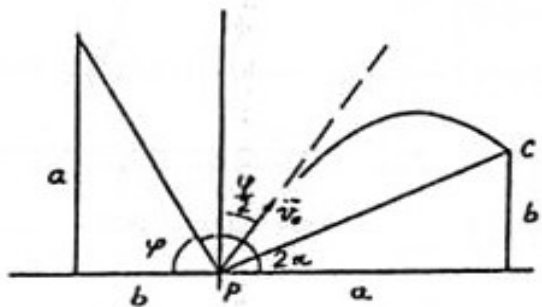
Absolutní hodnota napěťového přenosu, přenos v dB a fázové posunutí pro různé frekvence jsou v tabulce. Frekvenční charakteristiky jsou na obr. RA6. (Pro úplnost je uvedena i komplexní frekvenční charakteristika.)

3 body

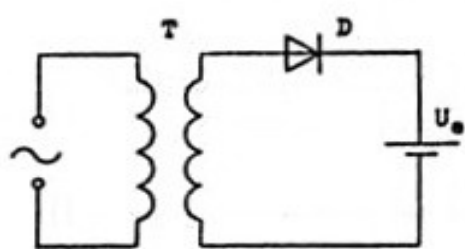
RA1



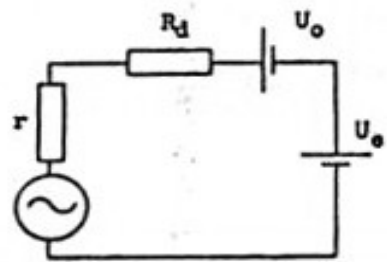
RA2



RA3

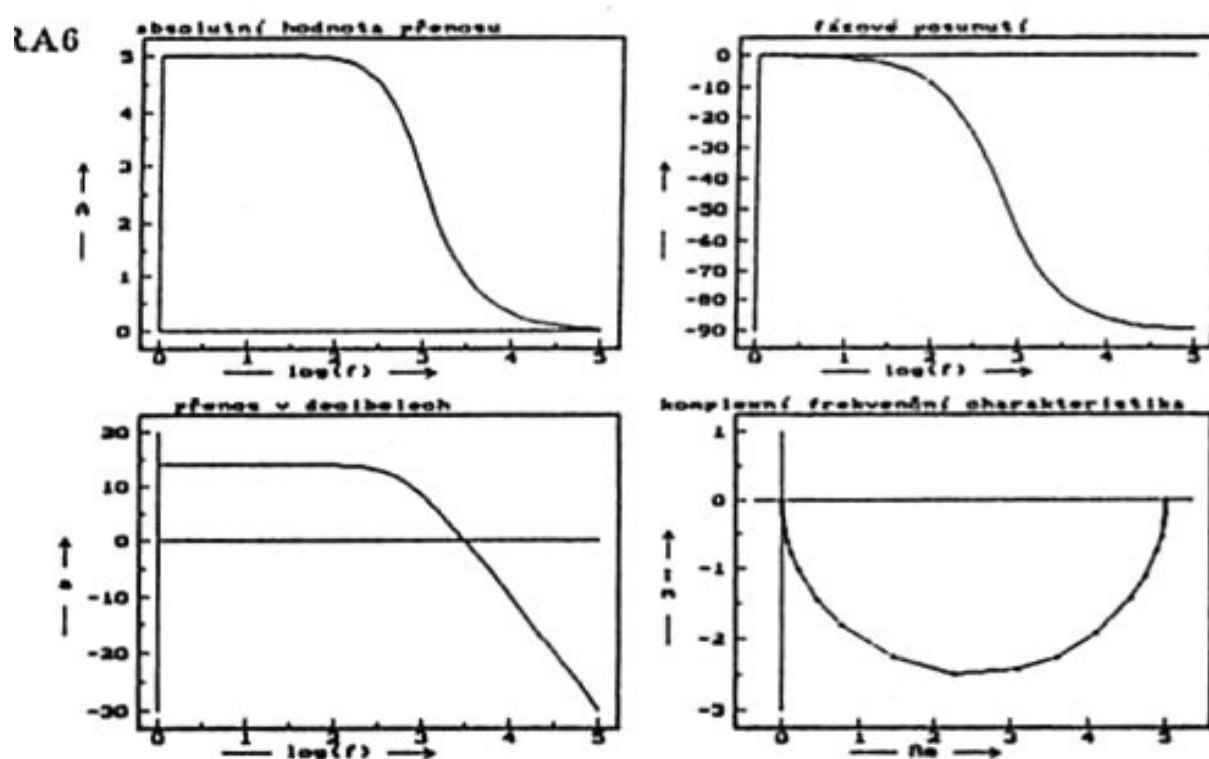


RA4



RA5

 $\bar{I}$



$f$	$A$	$n$	$f_1$
1.0E+0	3.5000E+0	1.3000E+1	-9.0E-2
1.0E+0	3.5000E+0	1.3000E+1	-1.3E-1
2.0E+0	3.5000E+0	1.3000E+1	-1.0E-1
3.0E+0	3.5000E+0	1.3000E+1	-2.7E-1
4.0E+0	3.5000E+0	1.3000E+1	-3.6E-1
5.0E+0	3.5000E+0	1.3000E+1	-4.5E-1
7.0E+0	3.5000E+0	1.3000E+1	-6.3E-1
1.0E+1	4.0000E+0	1.3000E+1	-9.0E-1
1.5E+1	4.0000E+0	1.3000E+1	-1.3E+0
2.0E+1	4.0000E+0	1.3000E+1	-1.6E+0
3.0E+1	4.0000E+0	1.3000E+1	-2.7E+0
4.0E+1	4.0000E+0	1.3000E+1	-3.6E+0
5.0E+1	4.0000E+0	1.3000E+1	-4.5E+0
7.0E+1	4.0000E+0	1.3000E+1	-6.3E+0
1.0E+2	4.0000E+0	1.3000E+1	-9.0E+0
1.5E+2	4.0000E+0	1.3000E+1	-1.3E+1
2.0E+2	4.0000E+0	1.3000E+1	-1.6E+1
3.0E+2	4.0000E+0	1.3000E+1	-2.7E+1
4.0E+2	4.0000E+0	1.3000E+1	-3.6E+1
5.0E+2	4.0000E+0	1.3000E+1	-4.5E+1
7.0E+2	4.0000E+0	1.3000E+1	-6.3E+1
1.0E+3	4.0000E+0	1.3000E+1	-9.0E+1
1.5E+3	4.0000E+0	1.3000E+1	-1.3E+2
2.0E+3	4.0000E+0	1.3000E+1	-1.6E+2
3.0E+3	4.0000E+0	1.3000E+1	-2.7E+2
4.0E+3	4.0000E+0	1.3000E+1	-3.6E+2
5.0E+3	4.0000E+0	1.3000E+1	-4.5E+2
7.0E+3	4.0000E+0	1.3000E+1	-6.3E+2
1.0E+4	4.0000E+0	1.3000E+1	-9.0E+2
1.5E+4	4.0000E+0	1.3000E+1	-1.3E+3
2.0E+4	4.0000E+0	1.3000E+1	-1.6E+3
3.0E+4	4.0000E+0	1.3000E+1	-2.7E+3
4.0E+4	4.0000E+0	1.3000E+1	-3.6E+3
5.0E+4	4.0000E+0	1.3000E+1	-4.5E+3
7.0E+4	4.0000E+0	1.3000E+1	-6.3E+3
1.0E+5	4.0000E+0	1.3000E+1	-9.0E+3